

## РАСЧЕТ ДВИЖЕНИЯ РОТОРА В ЦИЛИНДРИЧЕСКОЙ КАМЕРЕ

Численно решается задача о движении вращающегося твердого неуравновешенного цилиндра в неподвижной круговой цилиндрической камере, которая имеет конечную длину и заполнена вязким газом. На внутренний цилиндр действуют внешние периодически меняющиеся во времени силы. Рассчитаны орбиты установившегося движения ротора для различных значений скорости его вращения, величины дисбаланса, амплитуды и частоты внешних сил. Определены условия бесконтактного движения вращающегося цилиндра в камере.

1. Рассмотрим два коаксиальных круговых цилиндра длины  $L$  и радиусов  $R_1$  и  $R_2$  (рис. 1). Пространство между цилиндрами заполнено вязким газом. Центр масс внутреннего жесткого сплошного цилиндра (ротора) расположен вне его оси вращения (статическая неуравновешенность). Ротор вращается вокруг своей оси симметрии с постоянной угловой скоростью  $\omega$ . Внешний цилиндр (камера) неподвижен. Зазор между цилиндрами значительно меньше их радиусов, поэтому для нахождения распределения давления в тонком слое газа можно использовать уравнения Рейнольдса. В цилиндрической системе координат  $(r, \varphi, z)$ , ось  $z$  которой направлена вдоль оси внешнего цилиндра, уравнение для давления  $p$  имеет вид [1]

$$(1.1) \quad \frac{1}{12\mu} \frac{\partial}{\partial z} \left( h^3 \rho \frac{\partial p}{\partial z} \right) + \frac{1}{12\mu R_1^2} \left( h^3 \rho \frac{\partial p}{\partial \varphi} \right) = \frac{\partial}{\partial t} (\rho h) + \frac{\omega}{2} \frac{\partial}{\partial \varphi} (\rho h),$$

где  $\rho$  — плотность газа;  $h = h(\varphi)$  — местная толщина зазора между цилиндрическими поверхностями ( $R_1 \leq r \leq R_1 + h$ );  $\mu$  — коэффициент динамической вязкости газа.

Граничные условия:

$$(1.2) \quad \text{при } z = \pm L/2 \quad p = p_0$$

( $p_0$  — давление в окружающей слой среде).

По найденному из задачи (1.1), (1.2) полю давления в слое газа определим силу, приложенную к вращающемуся цилиндру длины  $L$  со стороны газа:

$$(1.3) \quad F_x = -2 \int_0^{L/2} \int_0^{2\pi} p R_1 \cos \varphi \, dz \, d\varphi, \quad F_y = -2 \int_0^{L/2} \int_0^{2\pi} p R_1 \sin \varphi \, dz \, d\varphi.$$

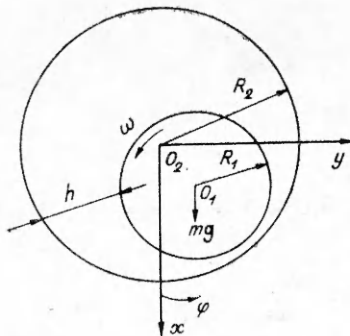
При вычислении реакции слоя газа были учтены лишь силы давления, которые в принятом при выводе уравнения для давления (1.1) приближении много больше сил трения [2].

Движение в поле тяжести вращающегося цилиндра под действием внешних периодически меняющихся во времени сил описывается уравнениями (в системе координат, связанной с центром неподвижной камеры)

$$(1.4) \quad m\ddot{x} = F_x + m\delta\omega^2 \cos \omega t + mg(1 + a_1 \cos \omega_1 t),$$

$$m\ddot{y} = F_y + m\delta\omega^2 \sin \omega t + mga_2 \sin \omega_1 t.$$

Здесь  $m$  — масса ротора;  $\delta$  — величина смещения центра масс от оси вращения ротора;  $g$  — ускорение свободного падения;  $a_1, a_2$  — амплитуды внешних периодических воздействий (например, случай движения металлического цилиндра в переменном электромаг-



Р и с. 1

нитном поле);  $\omega_1$  — частота внешних воздействий. В начальный момент времени ось вращения ротора совпадает с осью камеры.

2. Задачу о движении ротора будем решать методом прямого численного интегрирования системы уравнений, описывающих движение цилиндра и распределение давления в слое газа. Перепишем уравнение (1.4) в виде закона сохранения для объема  $R_1 \Delta \varphi \Delta z h_j$ , охватывающего узел  $i, j$  сетки в цилиндрической системе координат [3] ( $\Delta \varphi$  — размер шага по углу, а  $\Delta z$  — по координате):

$$(2.1) \quad R_1 \Delta \varphi \Delta z \frac{\partial}{\partial t} (h_j \rho_{i,j}) - \frac{h_j^3 \Delta \varphi R_1}{12 \mu \Delta z} [\rho_{i+1/2,j} (-p_{i,j} + p_{i+1,j}) - \rho_{i-1/2,j} (p_{i,j} - p_{i-1,j})] - \frac{\Delta z}{12 \mu R_1 \Delta \varphi} [\rho_{i,j+1/2} h_{j+1/2}^3 (p_{i,j+1} - p_{i,j}) - \rho_{i,j-1/2} h_{j-1/2}^3 (p_{i,j} - p_{i,j-1})] + \frac{\omega R_1 \Delta z}{2} (\rho_{i,j+1/2} h_{j+1/2} - \rho_{i,j-1/2} h_{j-1/2}) = 0$$

$$(i = 0, 1, 2, \dots, I-1, j = 1, 2, \dots, J).$$

Здесь  $\Delta \varphi = 2\pi/J$ ;  $\Delta z = L/2I$ ;  $\varphi_j = j\Delta \varphi$ ;  $h_j = C - x \cos \varphi_j - y \sin \varphi_j$ ;  $C$  — среднее значение радиального зазора;  $I, J$  — числа узлов сетки в осевом и окружном направлениях. Связь между давлением и плотностью газа задается соотношением  $p/\rho = \text{const}$ .

Граничные условия (1.2) в конечно-разностной форме имеют вид

$$(2.2) \quad p_{I,j} = p_0, p_{-1,j} = p_{1,j}, p_{i,0} = p_{0,J}, p_{i,J+1} = p_{i,1}$$

$$(i = 1, 2, \dots, I, j = 1, 2, \dots, J).$$

При записи соотношений (2.2) использованы условия периодичности  $p(z, \varphi) = p(z, \varphi + 2\pi)$  и гладкости  $(\partial p / \partial z)_{z=0} = 0$ .

Запишем уравнения (2.1) в безразмерном виде, используя следующие единицы измерения: расстояния поперек слоя  $C$ , расстояния вдоль слоя  $R_1$ , времени  $1/\omega$ , давления  $p_0$ :

$$(2.3) \quad 2\Lambda \Delta \varphi \Delta z \frac{\partial}{\partial t} (h_j \rho_{i,j}) - h_j^3 \frac{\Delta \varphi}{\Delta z} [\rho_{i+1/2,j} (p_{i+1,j} - p_{i,j}) - \rho_{i-1/2,j} (p_{i,j} - p_{i-1,j})] - \frac{\Delta z}{\Delta \varphi} [\rho_{i,j+1/2} h_{j+1/2}^3 (p_{i,j+1} - p_{i,j}) - h_{j-1/2}^3 \rho_{i,j-1/2} (p_{i,j} - p_{i,j-1})] + \Lambda \Delta z (\rho_{i,j+1/2} h_{j+1/2} - \rho_{i,j-1/2} h_{j-1/2}) = 0$$

$$(h_j = 1 - x \cos \varphi_j - y \sin \varphi_j).$$

В уравнениях (2.3) для безразмерных величин сохранены те же обозначения, что и для размерных.

Применяя метод переменных направлений [4], сведем поставленную задачу расчета поля давления в слое к последовательности одномерных задач, причем коэффициенты, нелинейные члены и массовые расходы газа в осевом направлении отнесем к моменту времени  $t_{k+1/2}$  ( $k$  — номер шага по времени), а остальные величины — к  $t_k$ . Производную  $\partial p / \partial t$  аппроксимируем разностной формулой второго порядка, центрированной относительно  $t_{k+1/4}$ . Полученную нелинейную разностную систему уравнений решаем вдоль строк сетки, рассматривая индекс  $j$  в качестве параметра, методом прогонки. Начальное приближение  $p_{i,j}^0$  на каждом шаге по времени определяем с помощью линейной экстраполяции

$$(p_{i,j}^{k+1/2})^0 = 1,5 p_{i,j}^k - 0,5 p_{i,j}^{k-1} \quad (k = 1, 2, \dots),$$

причем на первом шаге по времени  $(p_{i,j}^{1/2})^0 = p_{i,j}^0$ .

На следующем этапе метода переменных направлений в уравнениях (2.3) отнесем линейные составляющие массовых расходов в окружном направлении к  $t_{k+1}$ , а коэффициенты и остальные члены уравнений — к  $t_{k+1/2}$ , производную  $\partial p / \partial t$  центрируем относительно  $t_{k+3/4}$ . Далее, следуя методу циклической прогонки [5], находим давление во всех узлах

сетки и силу, действующую на ротор со стороны газового слоя в момент времени  $t_{k+1}$ .

Численное интегрирование уравнений движения ротора (1.4) проводим по следующей схеме:

$$(2.4) \quad \begin{aligned} x_{k+1/2} &= x_{k-1/2} + \dot{x}_k \Delta t, \quad y_{k+1/2} = y_{k-1/2} + \dot{y}_k \Delta t, \\ \dot{x}_{k+1/2} &= \dot{x}_{k-1/2} + f_{xk} \Delta t, \quad \dot{y}_{k+1/2} = \dot{y}_{k-1/2} + f_{yk} \Delta t, \\ x_{k+1} &= x_k + \dot{x}_{k+1/2} \Delta t, \quad y_{k+1} = y_k + \dot{y}_{k+1/2} \Delta t, \\ \dot{x}_{k+1} &= \dot{x}_k + f_{xk+1/2} \Delta t, \quad \dot{y}_{k+1} = \dot{y}_k + f_{yk+1/2} \Delta t. \end{aligned}$$

Здесь

$$\begin{aligned} f_x &= \frac{1}{M\Lambda^2} \left[ \frac{mg(1 + a_1 \cos \omega' t)}{p_0 R_1^2} - \frac{2}{9} \Delta\varphi \Delta z \sum_{i,j=0}^{I,J} S_{i,j} \sqrt{p_{i,j}} \cos \varphi_j \right] + \delta' \cos t; \\ f_y &= \frac{1}{M\Lambda^2} \left[ \frac{mga_2 \sin \omega' t}{p_0 R_1^2} - \frac{2}{9} \Delta\varphi \Delta z \sum_{i,j=0}^{I,J} S_{i,j} \sqrt{p_{i,j}} \sin \varphi_j \right] + \delta' \sin t; \\ M &= \frac{mp_n}{36\mu^2 R_1} \left( \frac{C}{R_1} \right)^5; \quad \delta' = \frac{\delta}{C}; \quad \omega' = \frac{\omega_1}{\omega}; \end{aligned}$$

$S_{i,j}$  — коэффициент кубатурной формулы Симпсона.

Систему уравнений (2.4) решаем с однородными начальными условиями:

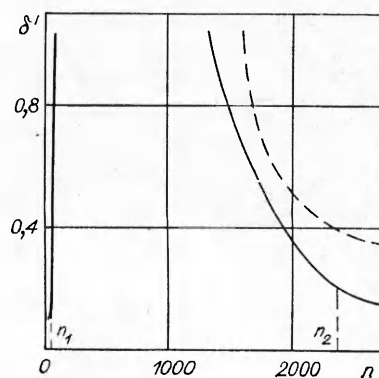
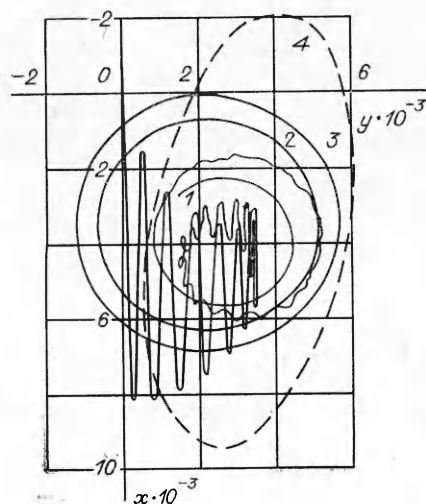
$$(2.5) \quad \text{при } t = 0 \quad x_0 = y_0 = 0, \quad \dot{x}_0 = \dot{y}_0 = 0,$$

причем  $p_{i,j}^0 = 1$ .

В начале счета использована аппроксимация  $x_{1/2} = x_0 + \dot{x}_0 \Delta t/2$ ,  $y_{1/2} = y_0 + \dot{y}_0 \Delta t/2$ ,  $\dot{x}_{1/2} = \dot{x}_0 + f_{x0} \Delta t/2$ ,  $\dot{y}_{1/2} = \dot{y}_0 + f_{y0} \Delta t/2$ .

3. Рассмотрим движение вращающегося неуравновешенного ротора в поле тяжести без периодических воздействий ( $a_1 = a_2 = 0$ ). Ротор, находящийся в начальный момент времени в центре камеры, начинает в дальнейшем двигаться. На рис. 2 показано формирование установившейся траектории движения ротора при скорости вращения  $n = 100$  об/с и  $\delta' = 0,3$  — кривая 1. Кривые 2, 3 отвечают установившемуся движению ротора с  $n = 140$  и  $150$  об/с. Орбиты установившегося движения ротора, показанные на рис. 2, 3, близки к круговым.

Перейдем к изучению движения ротора при наличии заданных внешних периодических возмущений конечной амплитуды. Зададим возмущения лишь по вертикали, т. е. положим  $a_1 = 1$ ,  $a_2 = 0$ , а также  $\omega_1 = \omega$



Р и с. 3

Р и с. 2

(частоты вращения ротора и внешних возмущений совпадают). Расчеты траекторий движения ротора проведены для значений скорости его вращения  $n$  в интервале от 60 до 2500 об/с при изменении относительного дисбаланса  $\delta'$  от 0,1 до 1 (на рис. 2 траектория 4 соответствует  $n = 100$  об/с,  $\delta' = 0,3$ ). Установившиеся орбиты движения ротора близки к эллиптическим. Оказывается, что при малых ( $n < n_1$ ) и больших ( $n > n_2$ ) скоростях вращения движение цилиндра неустойчиво: стационарные замкнутые траектории оси вращения не формируются, происходит соприкосновение ротора с камерой. Как следует из рис. 3, существует ограниченная зона скоростей вращения ротора  $[n_1, n_2]$  для фиксированного значения дисбаланса, где возможно движение ротора без возникновения контакта с камерой. Левая граница ( $n = n_1$ ) зоны формирования установившихся орбит практически не зависит от относительного дисбаланса, правая же отодвигается в область больших скоростей вращения с уменьшением дисбаланса.

Малая эллиптичность камеры (функция зазора в этом случае имела вид  $h_j = 1,066 - 0,133 \cos^2 \varphi_j - x \cos \varphi_j - y \sin \varphi_j$ ) приводит к расширению зоны формирования устойчивых эллиптических траекторий за счет увеличения наибольшей критической скорости вращения  $n_2$ . Это иллюстрирует штриховая линия на рис. 3.

Зависимость наибольшего размаха орбиты  $a$  от скорости вращения ротора показана на рис. 4 ( $\delta' = 0,3$ , кривая 1). При увеличении скорости вращения в 10 раз (от  $10^2$  до  $10^3$  об/с)  $a$  возрастает в 33 раза.

Влияние горизонтальных периодических возмущений показано на рис. 5, где кривая 1 отвечает  $a_1 = 0, a_2 = 1, \omega_1 = \omega = 2\pi \cdot 150 \text{ с}^{-1}$ , кривые 2 и 3 —  $a_1 = 0, a_2 = 0,1, \omega_1 = 1 \text{ с}^{-1}, n = 150$  и  $100$  об/с ( $\delta' = 0,3$ ). Практически совпадает с линией 2 орбита ротора со скоростью вращения  $n = 150$  об/с и  $\omega_1 = \omega$ . Увеличение амплитуды горизонтальных возмущений  $a_2$  до 10 при низкочастотных возмущениях ( $\omega_1 = 1 \text{ с}^{-1}$ ) практически не искажает установившихся круговых траекторий движения ротора и не приводит к их разрушению. Этот вывод подтверждают расчеты, проведенные для скоростей вращения цилиндра в интервале от 100 до 500 об/с. При амплитуде внешних воздействий  $a_2 = 100$  ( $a_1 = 0, \omega_1 = 1 \text{ с}^{-1}, n = 150$  об/с) ротор очень быстро приходит в соприкосновение с камерой.

Исследование влияния степени неуравновешенности ротора на формирование установившихся орбит при наличии горизонтальных периодических воздействий проводилось для  $a_1 = 0, a_2 = 1, \omega_1 = \omega = 200\pi \text{ с}^{-1}$ . Относительный дисбаланс  $\delta'$  изменялся в пределах от 0,1 до 1. Размах установившихся эллиптических орбит возрастает почти в 2 раза при изменении  $\delta'$  от 0,2 до 1 (рис. 4, кривая 2).

Изменение дисбаланса от 0,1 до 0,5 при наличии вертикальных возмущений с частотой, равной половине частоты вращения ротора ( $\omega = 200\pi \text{ с}^{-1}, a_2 = 0, a_1 = 1$ ) не оказывает существенного влияния на форму и ориентацию установившихся траекторий ротора. Воздействие вертикальных возмущений конечной амплитуды по сравнению со случаем отсутствия возмущений (см. рис. 2) приводит к увеличению размаха уста-

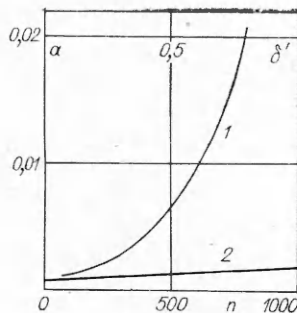


Рис. 4

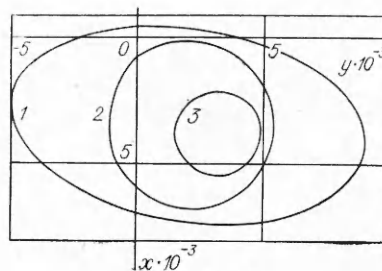


Рис. 5

новившейся траектории в 8—9 раз, смещению центра орбиты из первой четверти в третью на плоскости  $(x, y)$  и превращению круговой орбиты в эллиптическую. В расчетах на ЭВМ ЕС-1033 в основном использовались сетки  $16 \times 40$  и  $24 \times 60$ .

#### ЛИТЕРАТУРА

1. Константиnescу В. Н. Газовая смазка.— М.: Машиностроение, 1968.
2. Лойцянский Л. Г. Механика жидкости и газа.— М.: Наука, 1978.
3. Агишев Г. Г. Метод исследования динамики ротора, вращающегося в радиальных газовых подшипниках // Машиноведение.— 1984.— № 2.
4. Самарский А. А. Введение в теорию разностных схем.— М.: Наука, 1971.
5. Самарский А. А., Николаев Е. С. Методы решения сеточных уравнений.— М.: Наука, 1978.

г. Челябинск

Поступила 21/III 1988 г.,  
в окончательном варианте — 20/IV 1990 г.

УДК 532.543

П. Г. Петров

### ДВИЖЕНИЕ СЫПУЧЕЙ СРЕДЫ В ПРИДОННОМ СЛОЕ ЖИДКОСТИ

Задача состоит в математическом моделировании тонкого движущегося слоя двухфазной смеси, ограниченного снизу неподвижной сыпучей средой, сверху — потоком жидкости. Положение верхней границы движущегося слоя предполагается заданным, на ней заданы нормальные и касательные напряжения. Эти характеристики могут быть получены из решения уравнений гидродинамики.

Движущаяся смесь предполагается однородной, ускорение смеси — малым (и не учитывается). Как принято в уравнениях мелкой воды [1], вклад касательных напряжений на площадках, нормальных поверхности, мал и не учитывается, давление распределяется по гидростатическому закону.

**Постановка задачи.** В соответствии с принятыми допущениями уравнения движения запишутся в виде

$$(1) \quad \begin{aligned} \partial p / \partial s + \rho g \partial \xi / \partial s + \partial \tau_s / \partial m &= 0, \\ \partial p / \partial l + \rho g \partial \xi / \partial l + \partial \tau_l / \partial m &= 0, \quad \partial p / \partial m = \rho g \cos \gamma, \end{aligned}$$

где  $\xi = \xi(x, y)$  — уравнение поверхности смеси;  $x$  и  $y$  — декартовы горизонтальные координаты;  $s$  и  $l$  — ортогональные криволинейные координаты, лежащие на поверхности смеси;  $m$  — ось, направленная по нормали к поверхности смеси вниз ( $m = 0$  на поверхности  $\xi = \xi(x, y)$ );  $p$  — давление в смеси;  $\tau_s$  и  $\tau_l$  — проекции касательного напряжения  $\tau$  на площадках, параллельных поверхности смеси;  $\rho$  — плотность смеси ( $\rho = f\rho_r + (1-f)\rho_b$ );  $\rho_r$  и  $\rho_b$  — плотность частиц и воды;  $f$  — концентрация, значение которой определено ниже;  $\gamma$  — острый угол между нормалью к поверхности смеси и вертикальной линией.

Реологическое соотношение для касательного напряжения включает в себя закон Кулона для сыпучей среды и закон Прандтля для жидкости:

$$(2) \quad \tau = - \left( \frac{\partial \mathbf{u}}{\partial m} / \left| \frac{\partial \mathbf{u}}{\partial m} \right| \right) (p_s \operatorname{tg} \varphi + \tau_b).$$

Здесь  $p_s$  — дополнительное давление в смеси, возникающее за счет частиц;  $p_s = \rho_s g m \cos \gamma$ ;  $\rho_s = \rho - \rho_b = f(\rho_r - \rho_b)$ ;  $\varphi$  — угол внутреннего трения (принимается, как для покоящейся смеси, равным  $28^\circ$ );  $\tau_b = \rho_b L^2 |\partial \mathbf{u} / \partial m|^2$ ;  $L$  — длина пути смещения ( $L = \kappa(a - m)$ );  $a$  — толщина слоя движущейся смеси;  $\kappa$  — постоянная Кармана, согласно опытам Никурадзе для чистой воды, равная 0,4, для смеси в [2] в зависимости от концентрации  $\kappa$  имеет меньшие значения, например, при  $f = 0,2 \div 0,3$   $\kappa = 0,2$ .

В движущемся слое смеси ( $m \leq a$ ) из (2) следует  $|\tau| = \rho_s \operatorname{tg} \varphi + \tau_b$ , в неподвижном слое смеси (нижнем) ( $m \geq a$ )  $|\tau| \leq \rho_s \operatorname{tg} \varphi$ . Таким обра-